

Техническое описание и руководство по эксплуатации диодного лазера с внешним резонатором ECDL-7940RF (S/N 061332)

Диодный лазер с внешним резонатором (an extended cavity diode laser) ECDL-7940RF является источником перестраиваемого высококогерентного излучения в ближней инфракрасной области оптического спектра. Центральная длина волны рабочего диапазона равна 795 нм. При этом возможна ее отстройка на 2 нм, как в коротковолновую, так и в длинноволновую сторону. Длина лазерного резонатора подобрана таким образом, чтобы его межмодовый интервал совпадал по частоте с половиной сверхтонкого расщепления основного состояния в атомах ^{87}Rb . Это позволяет создавать в спектре излучения лазера боковые полосы, отстоящие от несущей на 3,417 ГГц. Лазер может использоваться в метрологии, спектроскопии, интерферометрии.

ECDL-7940RF состоит из оптической головки и электронного блока управления, которые соединяются кабелем VGA типа. Стандартная длина кабеля составляет 1,8 м. Блок управления должен подключаться к сети переменного напряжения через розетку, имеющую контакт **независимого заземления**. Оптическая головка при правильном подключении заземлена, однако следует учитывать, что в состав оптической головки входит пьезоэлемент, питаемый напряжением 200 В. При снятой крышке возможен доступ к его контактам.

Для СВЧ модуляции частоты лазера используется смеситель, установленный на общем основании с корпусом лазера. Подключение СВЧ кабеля осуществляется через разъем SMA типа.

Оптическая головка.

В состав оптической головки (Рис.1) входят:

хладопровод (поз.3) с установленным в нем единым модулем (поз.4) просветленного лазерного диода (LD) и коллимирующего объектива ($N_A=0.48$; $f=4.5$ мм; выходная апертура – 4.3 мм);

термоэлектрический микрохолодильник (элемент Пельтье);

термодатчик (термистор 10 кОм), установленный в корпусе оптической головки вблизи хладопровода;

дифракционная решетка (поз.5), укрепленная на подвижном рычаге (поз.10);

пьезоэлемент (поз.8), приводящий рычаг в движение.

Корпус лазера (поз.1) служит в качестве каркаса для всех оптических и механических компонентов лазерного резонатора. Чтобы одновременно обеспечить хороший тепловой контакт и надежную электрическую изоляцию лазерного диода по отношению к корпусу лазера, его хладапровод крепится теплопроводящим клеем через сапфировую подложку. Пластиковая крышка ECDL защищает оптический резонатор от пыли, тепловых и акустических возмущений. Основание оптической головки имеет с боков продольные пазы для ее установки на оптический стол. Следует применять такой монтаж оптической головки, при котором обеспечивается хороший теплоотвод от ее основания.

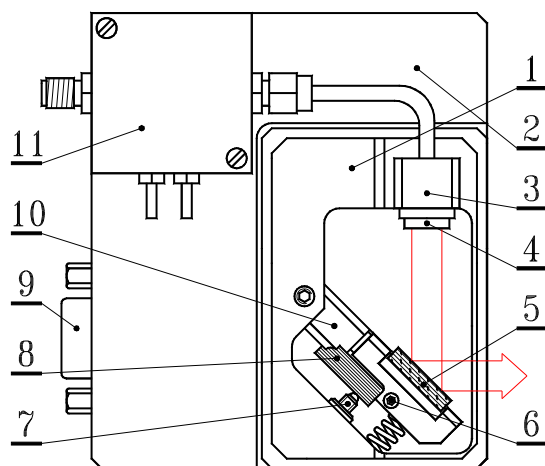


Рис.1. Оптическая головка (вид сверху при снятой крышке). 1 – корпус оптической головки; 2 – основание оптической головки; 3 – хладапровод лазерного диода; 4 – единый модуль лазерного диода и коллимирующего объектива; 5 – дифракционная решетка, укрепленная на горизонтальном валу; 6 – вертикальный фиксирующий винт M2; 7 – горизонтальный юстировочный винт M3x0,25; 8 – пьезоэлемент; 9 – разъем DHS-15F; 10 – подвижный рычаг; 11 – СВЧ смеситель.

Оптический резонатор перестраиваемого лазера формируется задней гранью лазерного диода, имеющей высокий коэффициент отражения (90-95%), и дифракционной решеткой (1800 мм^{-1}), установленной в автоколлимационной схеме Литтрова. Решетка укреплена на горизонтальном валу, положение которого и определяет требуемое направление дифракции лазерного пучка. Пьезоэлемент, толкающий рычаг с дифракционной решеткой, изменяет одновременно и угол падения луча на решетку, и длину резонатора. Это позволяет расширить диапазон непрерывной перестройки частоты излучения. Подстроечный прецизионный винт (поз.7) обеспечивает грубую перестройку лазерной длины волны.

Точное пространственное согласование падающей на решетку и дифрагированной волн критически важно для получения высокой когерентности и значительной мощности в выходном излучении лазера. ECDL-7940RF не имеет штатных регулировок для

настройки взаимного положения лазерного диода и коллимирующего объектива, а также для юстировки лазерного пучка в вертикальном направлении. Эти важные установки требуют серьезного навыка и выполнены предварительно на сборочном стенде. В случае повреждения или деградации лазерного диода модуль диода и коллимирующего объектива должен заменяться целиком.

В отличие от юстировки коллимирующего объектива небольшая подстройка лазерного луча в вертикальной плоскости возможна и после демонтажа оптической головки со сборочного стенда. Горизонтальная ось (горизонтальный вал) дифракционной решетки установлена в цанговом зажиме. Цанговый зажим фиксируется или отпускается, когда вертикальный винт (поз.6) закручивается или выкручивается соответственно. Слегка асимметричный захват цанги приводит к проворачиванию горизонтального вала при закручивании винта 6 (Рис.1). Закручивание фиксирующего винта приводит к смещению лазерного луча вверх, выкручивание смещает луч вниз. **Не следует вращать фиксирующий винт более, чем на четверть оборота!** В противном случае он может быть поврежден, или горизонтальный вал будет полностью ослаблен.

Если требуется значительное смещение лазерного луча в вертикальной плоскости, то следует воспользоваться Г-образным шлицевым ключом из ремонтного комплекта. Для установки данного ключа в торце горизонтального вала имеется шлицевой паз с резьбовым отверстием. При отпущенном фиксирующем винте 6 горизонтальный вал вращается свободно. После установки вала в требуемое положение он может быть вновь зажат с учетом упомянутого выше вращения вала при затяжке фиксирующего винта.

Как правило выходной пучок лазера астигматичен. Это связано и с его эллиптичностью, и с типом волновода структуры LD. Поэтому иногда наиболее эффективная оптическая обратная связь достигается при слегка сходящемся пучке, т.е. незначительная сходимость ($\sim 2 \times 10^{-3}$) лазерного пучка не означат неправильной юстировки коллиматора ECDL.

Блок управления.

Блок управления (ULDC242 – a universal laser diode controller) устанавливает ток лазерного диода, температуру корпуса лазера и длину внешней части лазерного резонатора с точностью, достаточной для достижения требуемых характеристик ECDL-7940RF. ULDC242 в качестве опции может иметь два независимых контура термостабилизации (LD и CASE). В представленной модели лазера с внешним резонатором активирован только один из них (LD).

Аналоговый блок питания обеспечивает все напряжения, требуемые для работы электронных узлов: стабилизированные $\pm 15\text{В}$, $+200\text{В}$, $\pm 5\text{В}$ и нестабилизированные $\pm 6\text{В}$. Под крышкой блока управления рядом с сетевым разъемом расположены три гнезда для плавких сетевых предохранителей. Одно гнездо соответствует переменному напряжению силовой сети 240В, другое – напряжению 220В, третье – напряжению 117В. **Единственный предохранитель номиналом 2А должен быть установлен в соответствующее гнездо!** Дополнительный предохранитель в 100 мА (F1 на Рис.8 и 13) защищает выход высоковольтного блока питания от случайного замыкания. Для того чтобы снять крышку блока управления, следует выкрутить четыре винта с его верхней стороны.

Передняя панель блока управления разделена на несколько функциональных зон, отражающих работу источника тока (CURRENT), контроллеров температуры (THERMO), высоковольтного усилителя (PZT) и шунта лазерного диода (LD) (Рис.2).

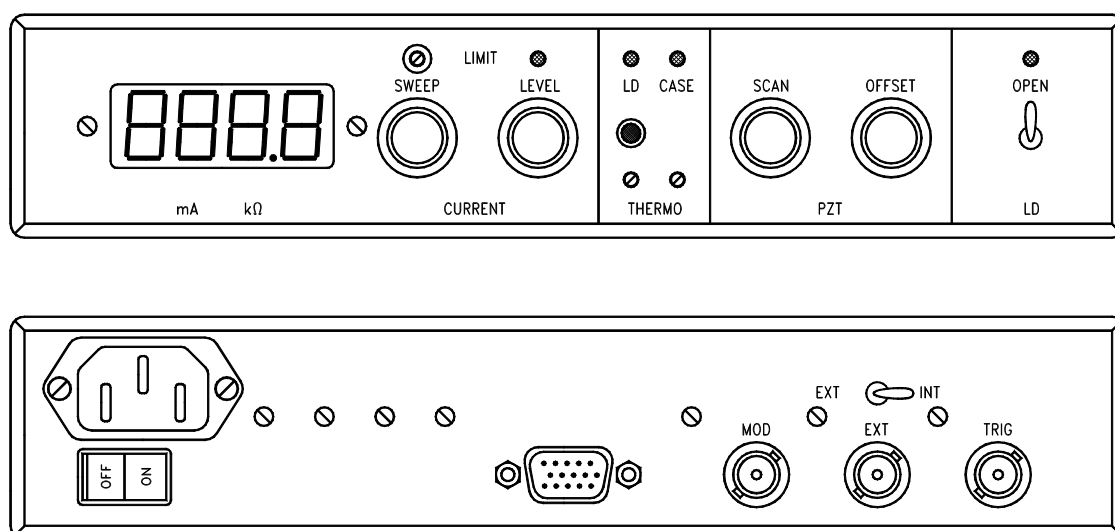


Рис.2. Вид спереди и сзади на блок управления.

В зоне CURRENT расположены цифровой индикатор, рукоятки установки уровня тока лазерного диода (LEVEL), амплитуды сканирования тока (SWEEP) и уровня ограничения тока (LIMIT). Красный светодиод, расположенный над рукояткой LEVEL, загорается при достижении уровня ограничения тока. Максимальное значение тока для ULDC242 составляет около 190 мА. Полный размах сканирования тока составляет четверть от максимального значения тока (~45 мА).

Встроенный генератор треугольного сигнала может модулировать ток лазерного диода на сетевой частоте f и ее субгармониках $f/2$, $f/4$, $f/8$. Для установки частоты

модуляции один из движков переключателя DIP-8 на печатной плате (SW5) должен быть установлен в положение ON. Принимая во внимание низкочастотный механический отклик лазерного резонатора, в ULDC242 предустановлена частота $f/2$ (т.е. 25 Гц для Европы и 30 Гц для США). Для сканирования лазерной длины волны могут использоваться и более высокие частоты, если скорость сканирования важна, а дополнительными осцилляциями вблизи точек поворота направления сканирования можно пренебречь.

Поскольку треугольный сигнал управления током инжекции и напряжением PZT формируется из переменного напряжения силовой сети, то разность фаз этих двух переменных сигналов постоянна. Это позволяет минимизировать влияние сетевых наводок при регистрации оптических и электрических сигналов.

Триммер ограничения тока (LIMIT) расположен над рукояткой SWEEP. Установка ограничения тока необходима для предотвращения деградации лазерного диода вследствие случайных перегрузок по току.

В зоне THERMO расположены два подстроечных сопротивления, устанавливающих температуру внутреннего (LD) и внешнего (CASE) контуров термостабилизации. Вращение по часовой стрелке приводит к увеличению температуры контролируемого объекта. Двухцветные светодиоды над триммерами отражают состояние соответствующей термостабилизации. Отсутствие какого-либо света в зоне THERMO свидетельствует об установлении требуемых температур лазерного диода или корпуса оптической головки. Зеленый цвет светодиода информирует об активном охлаждении соответствующего объекта, т.е. внешняя температура выше предустановленной для данного объекта. Красный цвет светодиода индицирует нагрев (внешняя температура ниже предустановленной). Светодиоды в зоне THERMO также горят красным, если оптическая головка разъединена с блоком управления.

Кнопка в зоне THERMO переключает цифровой дисплей из режима измерения тока лазерного диода в режим измерения величины сопротивления, задающего температуру лазерного диода. При нажатии на нее дисплей показывает значение данного сопротивления в килоомах.

В функциональной зоне PZT установлены рукоятки регулировки амплитуды переменного (SCAN) и постоянного (OFFSET) напряжения, подаваемого на пьезоэлемент. Сигнал модуляции, подаваемый на вход высоковольтного усилителя, подобен сигналу, подаваемому на вход источника тока. Относительная фаза этих сигналов выбрана таким образом, чтобы реализовать согласованные изменения тока

лазерного диода и длины лазерного резонатора. Это позволяет расширить диапазон непрерывной перестройки частоты выходного излучения лазера. Для сканирования пьезоэлемента используется практически полный (400В) размах выходного напряжения высоковольтного усилителя. Максимальная перестройка длины резонатора лазера достигается при среднем положении рукоятки OFFSET и полностью введенной рукоятке SCAN.

В зоне LD находятся тумблер размыкания шунта лазерного диода и индикатор состояния этого шунта. Рекомендуется держать лазерный диод закороченным (светодиод погашен) в момент включения блока управления и до установления стационарного состояния обоих контуров термостабилизации. Когда тумблер LD переводится в состояние OPEN, светодиод загорается зеленым, и величина сопротивления, закорачивающего выводы лазерного диода, плавно изменяется с величины порядка 4 Ом до величины в десятки МОм, размыкая лазерный диод и защищая его от бросков тока в переходных процессах. Также шунт защищает от перегрузок лазерный диод при аварийном исчезновении любого из питающих источников тока напряжений ± 15 В.

На задней панели ULDC242 установлены:

сетевой разъем с выключателем,

разъем подключения оптической головки к блоку управления (DHR-15M),

входной разъем для высокочастотной (до 50 кГц) модуляции тока (MOD),

входной разъем внешнего управляющего сигнала (EXT),

переключатель управляющих сигналов (EXT-INT) и

выходной разъем синхронизации (TRIG).

В положении INT переключателя управляющих сигналов на разъем TRIG подается треугольный сигнал размахом 10 В с выхода встроенного генератора, который может быть использован для синхронизации внешних устройств. Для того чтобы регулировать выходные параметры ECDL-7940RF внешним сигналом, переключатель управляющих сигналов должен быть установлен в положение EXT. В этом случае выход встроенного генератора отсоединяется от входов источника тока и высоковольтного усилителя, на которые теперь, как и на разъем TRIG, подается внешний сигнал.

Сигнал с разъема MOD поступает на вход источника тока независимо от положения переключателя EXT-INT. Отклик в изменении тока по входу MOD в 20 раз меньше, чем по входу EXT.

Подготовка к работе ECDL-7940RF.

1. Соединить кабелем VGA типа оптическую головку и блок управления.

2. Проверить положение рукояток SWEEP и LEVEL. Они должны быть в крайнем левом положении.

3. Подсоединить сетевой шнур к **ЗАЗЕМЛЕННОЙ** розетке. Включить сетевой тумблер, расположенный на задней панели, и подождать до момента установления стационарного температурного режима лазерного диода и корпуса оптической головки (светодиоды в зоне THERMO должны погаснуть).

4. Разомкнуть выводы лазерного диода тумблером LD-OPEN и установить рекомендуемый уровень тока.

Выключение ECDL-7940RF.

1. Вывести обе рукоятки SWEEP и LEVEL до нуля (в крайнее левое положение).
2. Замкнуть выводы лазера тумблером LD-OPEN (рычажок вниз, индикатор состояния шунта погас).
3. Выключить блок управления сетевым тумблером.

Перестройка частоты ECDL-7940RF.

Механическая стабильность ECDL-7940RF достаточно высока, чтобы сохранять выходные параметры лазера в течение недель. Так что регулировка тока инжекции лазерного диода и напряжения на пьезоэлементе является достаточным средством для точной настройки лазера на желаемую длину волны (например, длину волны атомного перехода). Однако ухудшение характеристик ECDL (увеличение порогового тока, уменьшение выходной мощности и диапазона перестройки частоты, слабое подавление боковых мод, возрастание амплитудного шума) может свидетельствовать о необходимости подъюстировки внешнего резонатора.

Следующие экспериментальные данные описывают работу ECDL-7940RF и могут служить в качестве образцовых при его юстировке.

На рисунке 3 показана осциллограмма, соответствующая ватт-амперной характеристике (WtAX) ECDL-7940RF, т.е. зависимости выходной мощности лазера от тока инжекции. Встроенный генератор треугольного сигнала, по которому также синхронизируется развертка осциллографа, линейно во времени увеличивает и уменьшает ток лазерного диода, а соответствующее изменение выходной мощности лазера регистрируется фотоприемником. Практически горизонтальные участки в основании осциллограммы соответствуют допороговому режиму лазера. С появлением генерации выходная мощность нарастает с ростом тока. Заметные на этих зависимостях

скачки, соответствуют перескокам мод внешнего резонатора. Внутри некоторых «ступенек» обнаруживается поглощение излучения лазера в парах Rb (эти области окружены красными эллипсами).

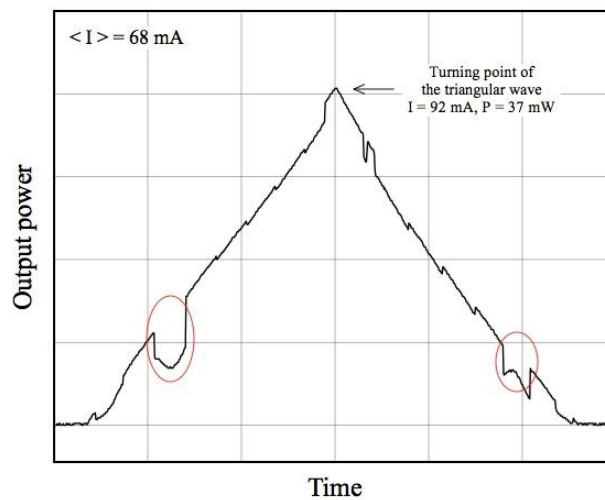


Рис.3. Зависимость выходной мощности лазера от тока инжекции. Ток лазерного диода модулируется симметричным треугольным сигналом. Красные эллипсы обозначают зону поглощения лазерного излучения в парах Rb.

Данная зависимость снята при постоянном напряжении на пьезоэлементе (рукоятка SCAN установлена в крайнее левое положение), которое выбрано таким, чтобы поглощение в рубидии было заметным. В другом положении рукоятки OFFSET частота моды внешнего резонатора будет сдвинута и может выйти из резонанса с соответствующим атомным переходом.

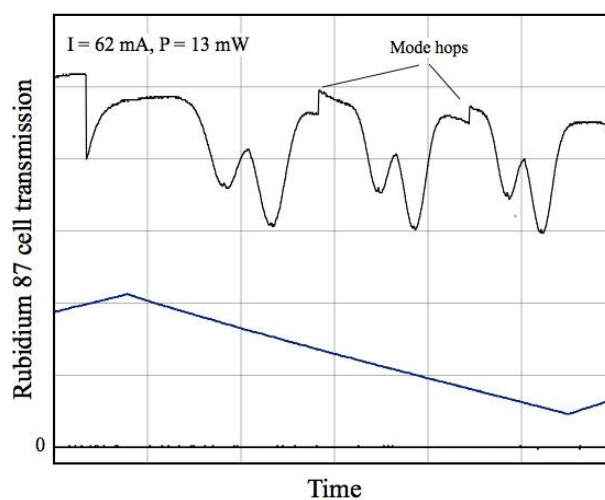


Рис.4. Зависимость выходной мощности лазера на выходе из Rb ячейки от напряжения на пьезоэлементе. Ячейка содержит естественную смесь изотопов ^{85}Rb и ^{87}Rb . Напряжение меняется линейно со временем (синим показан модулирующий сигнал). Ток лазерного диода не меняется. На вершинах доплеровских контуров видны резонансы нелинейного поглощения небольшой амплитуды.

Следующая осциллограмма (Рис.4) снята при постоянном токе лазерного диода и линейно изменяющемся со временем напряжении на пьезоэлементе. Осциллограмма соответствует только одному склону модулирующего сигнала. Амплитуда сканирования пьезоэлемента выбрана максимальной. Для увеличения резонансного поглощения света ячейка подогревается до $\sim 60^\circ\text{C}$.

На записанной кривой хорошо видны скачки, связанные с перескоками мод внешнего резонатора, между которыми выходная частота лазера меняется на несколько ГГц (диапазон, соответствующий области свободной дисперсии ECDL). Из-за гистерезиса в перестроечной характеристике ECDL зарегистрированные сигналы на разных склонах управляющего сигнала несколько отличаются.

Незначительное отражение назад от выходного окошка рубидиевой ячейки формирует в ней стоячую волну, и это позволяет наблюдать резонансы нелинейного поглощения небольшой амплитуды на вершинах доплеровских контуров.

Изменение тока инжекции приводит к изменению оптической длины собственного резонатора лазерного диода вследствие изменения показателя преломления активной среды и теплового расширения кристалла. Это принципиально позволяет в определенном диапазоне синхронизировать движение собственной и внешней мод составного резонатора лазера и тем самым увеличить диапазон непрерывной перестройки длины волны ECDL-7940RF.

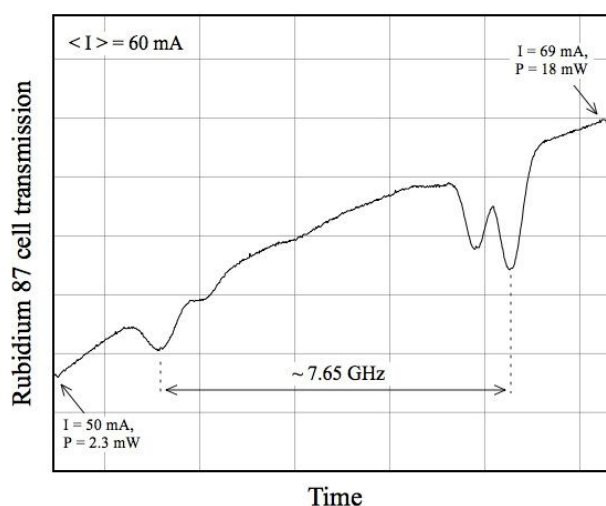


Рис.5. Пропускание ячейки с парами Rb при синхронном сканировании дифракционной решетки и тока ЛД.

На рисунке 5 показан сигнал на фотоприемнике за Rb ячейкой при одновременном сканировании тока лазерного диода и напряжения на пьезоэлементе.

Размах сканирования пьезоэлемента устанавливается на максимум (рукоятка SCAN находится в крайнем правом положении, а рукоятка OFFSET – в среднем), при этом амплитуда сканирования тока и его среднее значение определены опытным путем до полного исчезновения перескоков мод во всем диапазоне сканирования.

Следует отметить, что из-за определенной задержки пьезоэлемента в отклике на управляющий сигнал по отношению к току (степень задержки зависит от частоты и амплитуды сканирования), не всегда удастся получить одновременно на обоих склонах управляющего сигнала строго согласованный сдвиг собственной и внешней мод. Поэтому поведение лазера в отношении перестройки частоты может отличаться для разных склонов управляющего сигнала.

Оциллограммы, представленные ниже, демонстрирует работу ECDL-7940RF в режиме СВЧ модуляции.

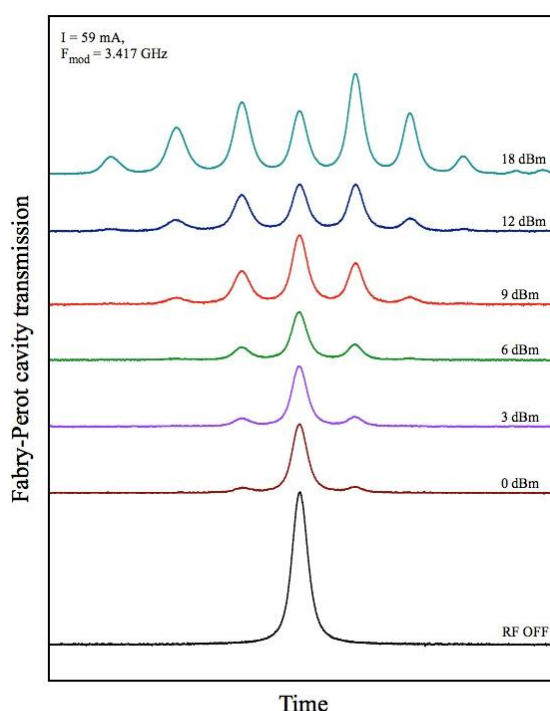


Рис.6. Пропускание сканирующего интерферометра Фабри-Перо при различных уровнях СВЧ мощности, подаваемой в ток ECDL-7940RF. Кривые сдвинуты по вертикали относительно друг друга для наглядности.

На рисунке 6 показаны резонансы пропускания сканирующего интерферометра Фабри-Перо при различной СВЧ мощности, подаваемой в ток лазера. Результаты даны для среднего значения тока 59 мА. С увеличением тока лазерного диода контраст боковых полос в отношении несущей при той же СВЧ мощности падает.

Рисунок 7 демонстрирует возможности ECDL-7940RF для регистрации резонансов когерентного пленения населенностей (КПН) в атомах Rb. Слева (Рис.7а)

показано пропускание рубидиевой ячейки при наличии (синяя кривая) и отсутствии (черная кривая) СВЧ модуляции. Справа (рис.7б) записаны спектр лазера (синим) и КПН резонанс (черным).

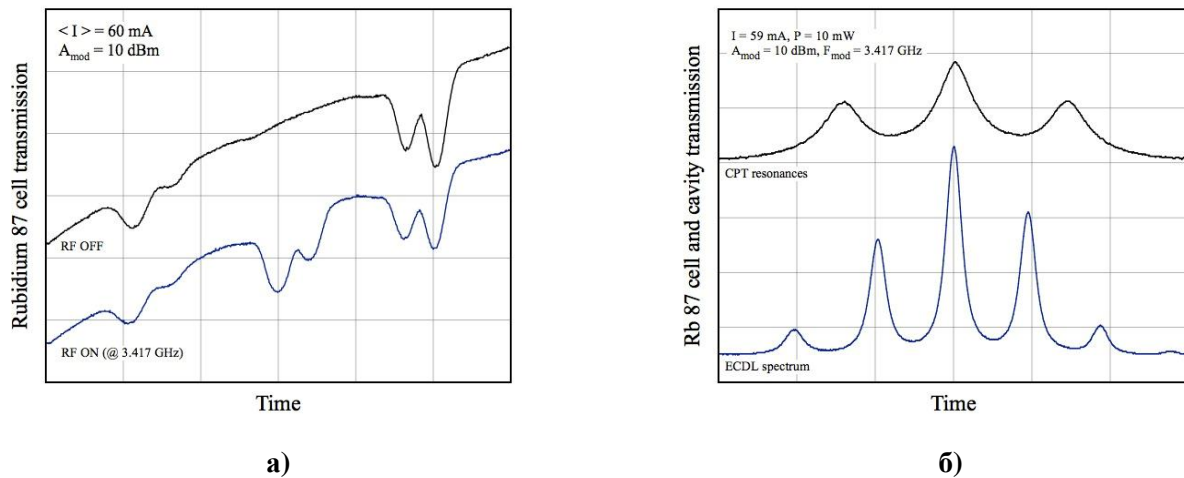


Рис.7. Пропускание Rb ячейки при наличии (синяя кривая) и отсутствии (черная кривая) СВЧ модуляции в ток лазера (а). Лазерный спектр, зарегистрированный с помощью сканирующего интерферометра (синяя кривая) и КПН резонанс (черная кривая).

Юстировка ECDL-7940RF.

Ниже приведена последовательность действий, если выявлено, что требуется подюстировка лазера.

- 1) Вставить Г-образный ключ из ремкомплекта в шлицевой паз горизонтальной оси дифракционной решетки.
- 2) Определить направление, в котором движение Г-образного ключа приводит к уменьшению порогового тока. Для этого мягко понажимать на рычаг вверх и вниз.
- 3) Если движение рычага вниз (т.е. лазерный луч, отраженный от дифракционной решетки движется вверх) приводит к уменьшению порогового тока, то следует вращать фиксирующий винт (Рис.1, поз.6) по часовой стрелке. В противоположном случае фиксирующий винт следует слегка ослабить. Для вращения фиксирующего винта используется средний шестигранный ключ из ремкомплекта. Как правило, вращения на несколько градусов достаточно для восстановления режимов работы ECDL-7940RF.
- 4) После достижения минимума порога генерации установить, если требуется, необходимую длину волны горизонтальным юстировочным винтом (Рис.1, поз.7), доступ к которому возможен и при закрытой крышке оптической головки. Для вращения горизонтального юстировочного винта используется самый малый шестигранный ключ из ремкомплекта.

Приложение. Принципиальные и монтажные схемы ULDC242.

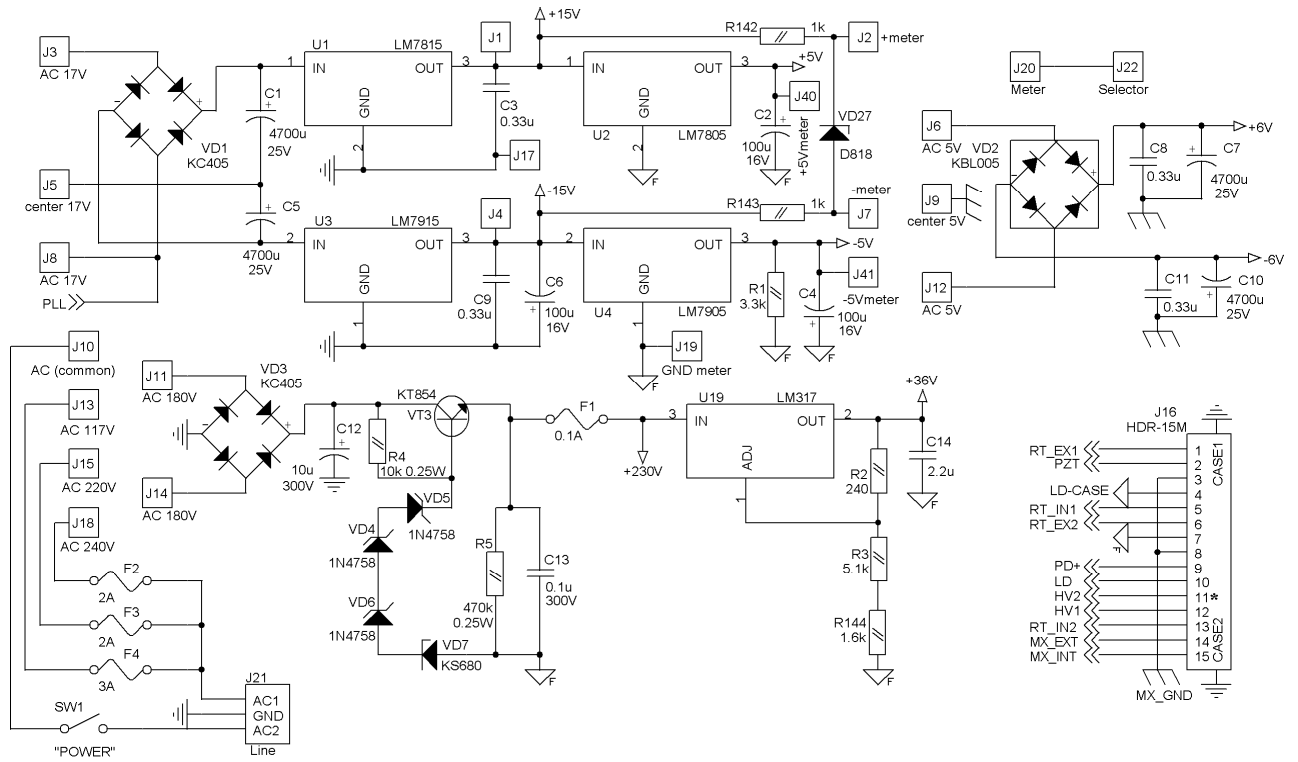


Рис.8. Схема блока питания.

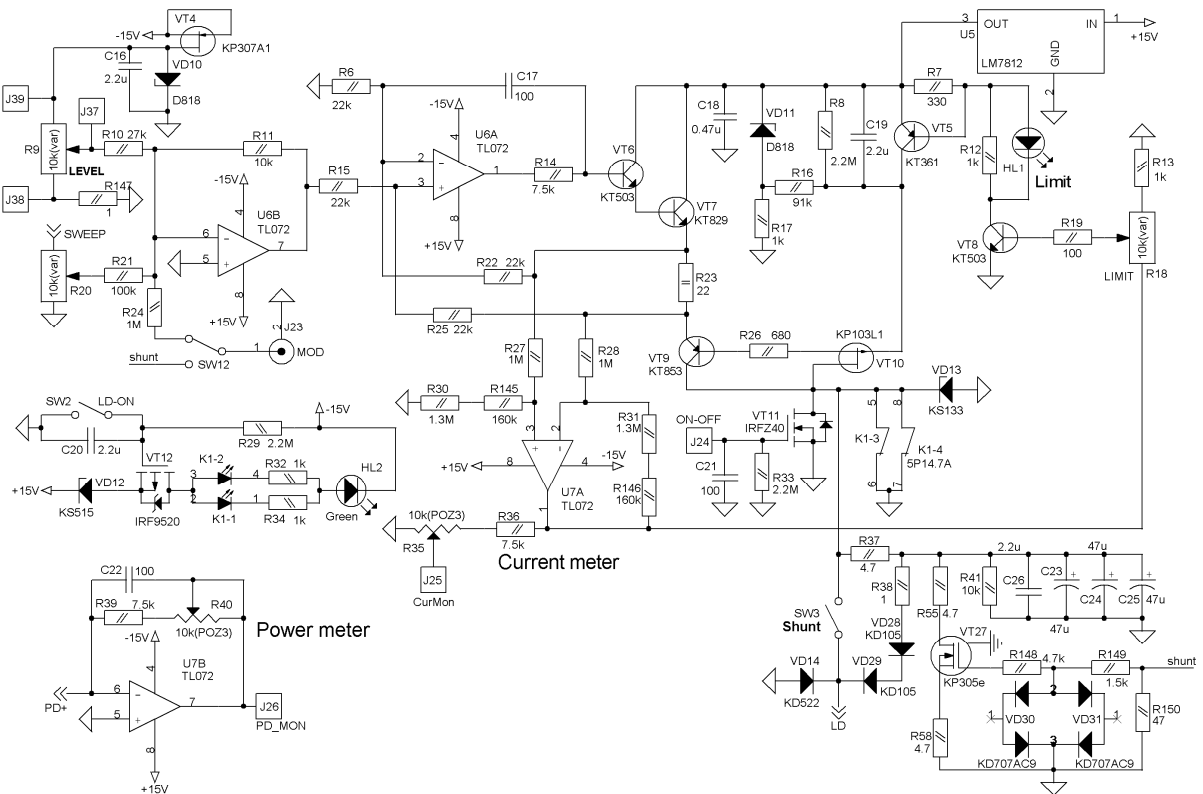


Рис.9. Схема источника тока.

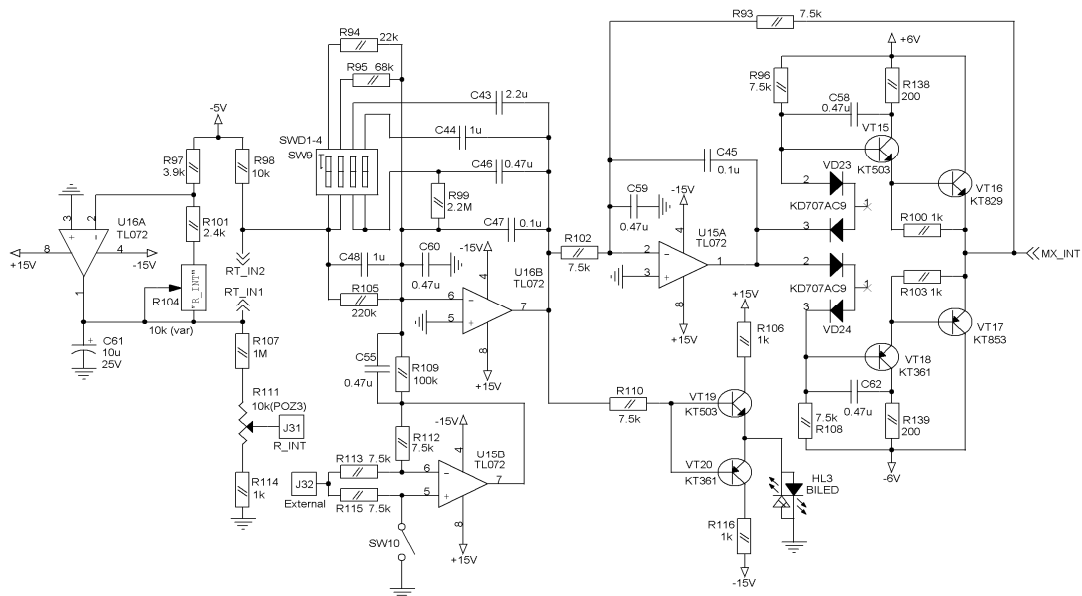


Рис.10. Схема контроллера температуры лазерного диода.

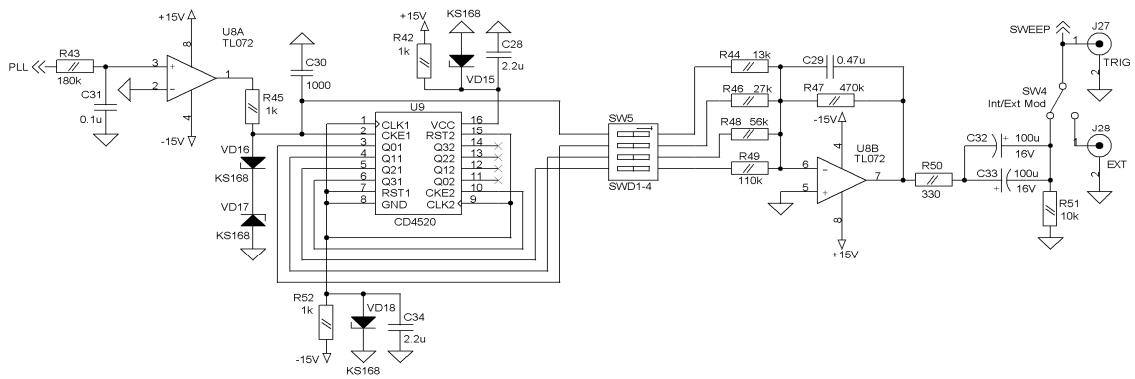


Рис.11. Схема генератора треугольного сигнала.

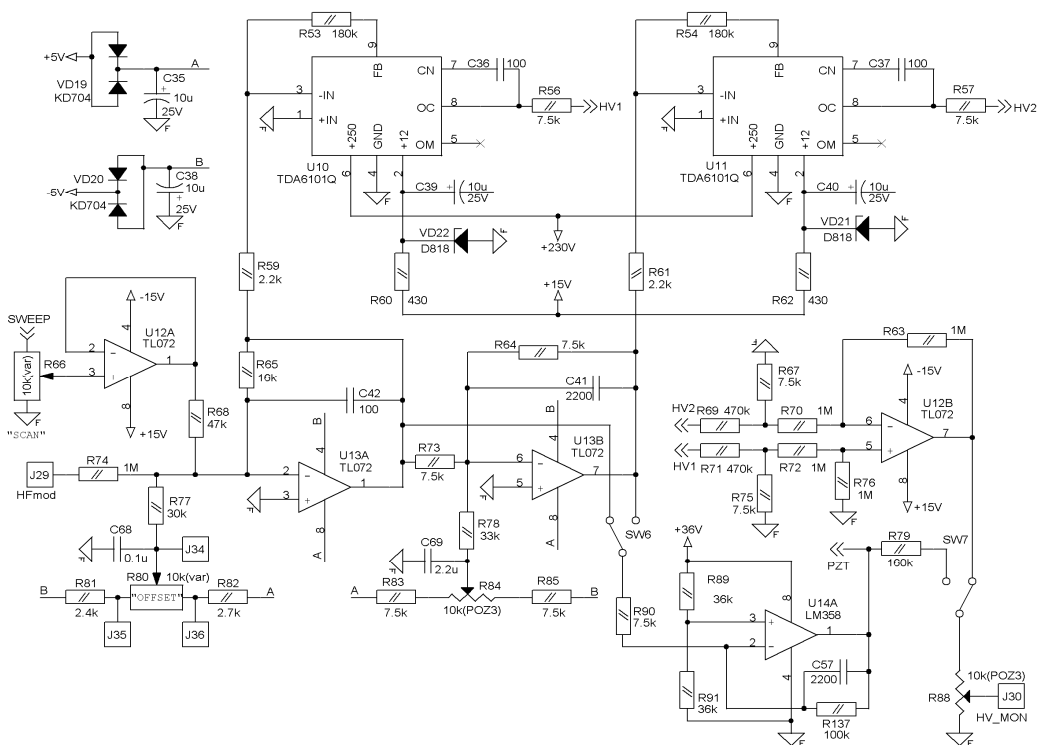


Рис.12. Схема высоковольтного усилителя.

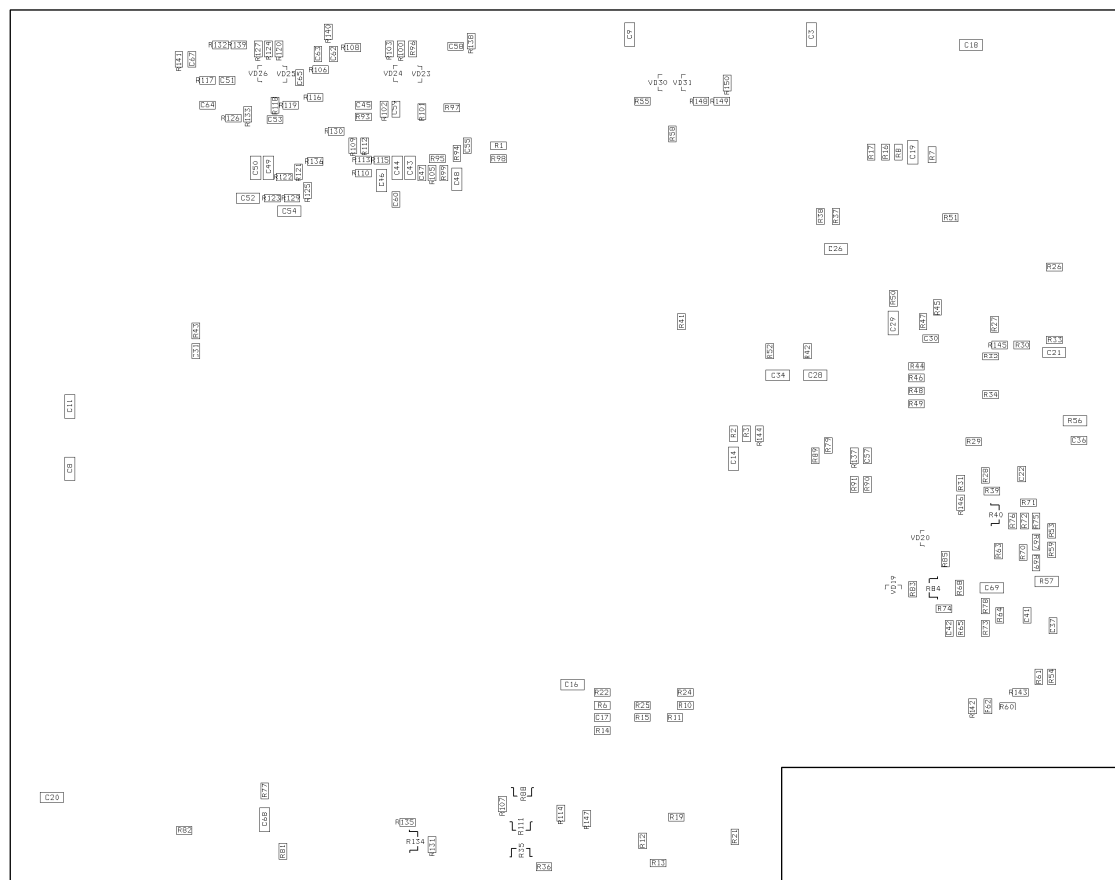
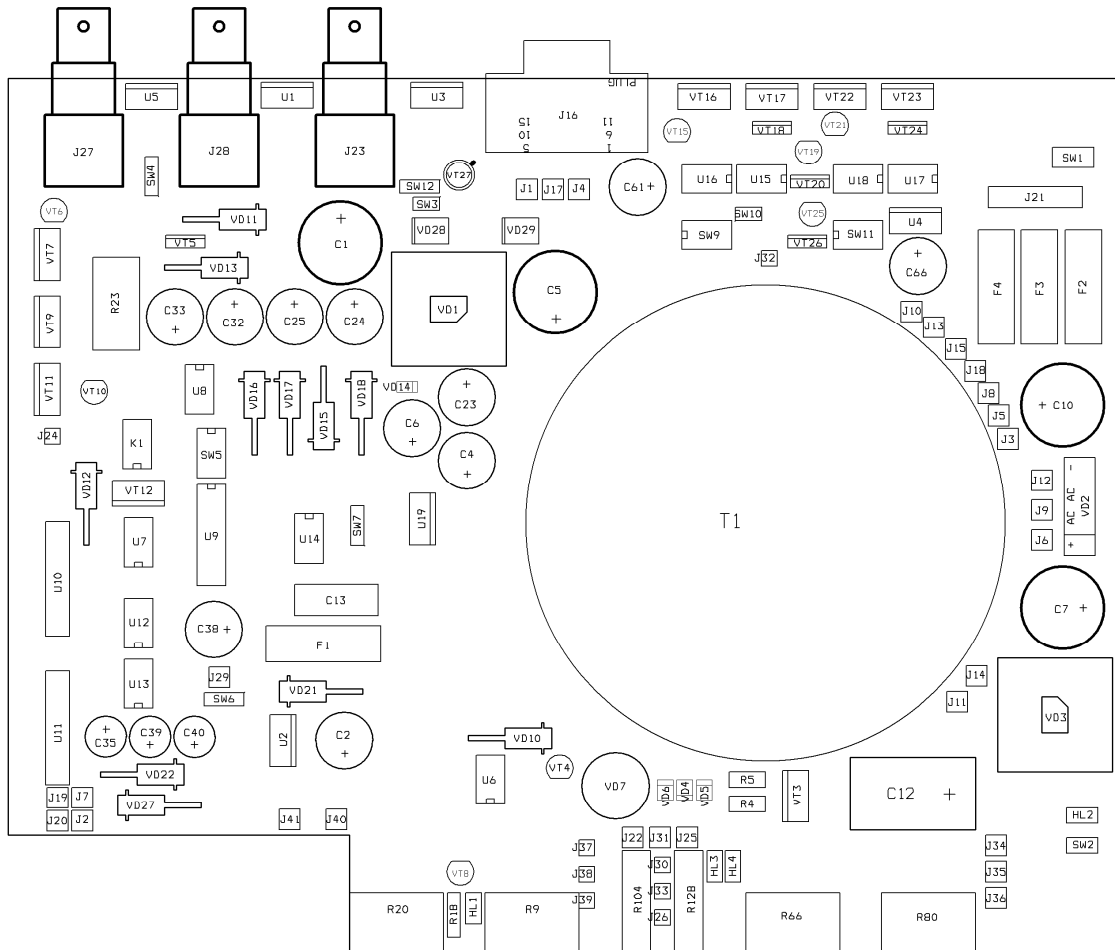


Рис.13. Монтажные схемы ULDC242.

Общие рекомендации по эксплуатации ECDL-7940RF.

1. Не пытайтесь изменить настройку выходного объектива. В случае деградации лазерного диода единый модуль диода и объектива должен заменяться целиком.

2. Не нарушайте последовательность включения и выключения лазера.

3. Не понижайте температуру лазерного диода ниже точки росы, это может привести к деградации лазерного диода. Температура лазерного диода может быть оценена из ТКС (температурный коэффициент сопротивления) термистора:

$$\text{ТКС} = - 4 \text{ \%}/^{\circ}\text{C} .$$

4. Используйте оптический изолятор для устранения паразитных отражений обратно в лазер.

5. Следуйте **золотому правилу**: ECDL как часть экспериментальной установки должен включаться последним и выключаться первым.

Спецификация.

| | |
|-------------------------------------|--|
| 1. Длина волны | 794.7 нм |
| 2. Выходная мощность | |
| @ 63 мА | 14 мВт |
| @ 100 мА | 47 мВт |
| @ 135 мА | 80 мВт |
| 3. Диапазон непрерывной перестройки | |
| by PZT only | 5 ГГц |
| by PZT+LD current | 12 ГГц |
| 4. Диапазон грубой перестройки | ± 2 нм |
| 5. Поляризация | линейная горизонтальная |
| 6. Пучок | эллиптический 5×1.5 мм ² |
| 7. Пороговый ток | |
| @ D1Rb (794.7 нм) | 47 мА |
| 8. Рабочий ток | 100 мА |
| 9. Величина термосопротивления | 10.4 кОм |
| 10. Размеры оптической головки | $91 \times 89 \times 37$ мм ³ |
| 11. Вес оптической головки | 200 г |
| 12. Размеры блока управления | $245 \times 200 \times 55$ мм ³ |
| 13. Вес блока управления | 1,2 кг |